

пределение «будет жить» (если $-\varepsilon_k/\theta$ велико) достаточно долго.

Пример с маятником также прост. При $\hbar \rightarrow 0$ большой пакет собственных значений сходится к энергии E . Соответственно сумма (20), отвечающая этому пакету, будет стремиться к E , а функция Вагнера собственных функций будет сходиться к микроканоническому распределению. Рассмотрим теперь многомерный случай.

Предположим, что Λ — инвариантное лагранжево многообразие с инвариантной мерой, отвечающее классическому гамильтониану $H(p, x)$ на уровне энергии E . Асимптотика собственных функций соответствующего уравнения Шрёдингера дается каноническим оператором на этом лагранжевом многообразии. Тогда распределение всего набора их вагнеровских функций будет стремиться при $\hbar \rightarrow 0$ в обобщенном смысле к δ_Λ -функции на этом лагранжевом многообразии [17]. Такое распределение мы называем неканоническим. Оно также является квазистационарным.

Литература

1. Маслов В.П. // Вестн. Моск. ун-та. Физ. Астрон. 2000. № 6. С. 3 (Moscow University Phys. Bull. 2000. No. 6. P. 1).
2. Маслов В.П. // Функцион. анализ и приложения. 2000. 34, № 4. С. 35.

3. Маслов В.П. // ТМФ. 2000. 125, № 2. С. 297.
4. Маслов В.П. // ТМФ. 2000. 129, № 3. С. 464.
5. Маслов В.П. // Матем. заметки. 2000. 68, № 6. С. 945.
6. Maslov V.P. // Russ. J. Mathem. Phys. 2000. 7, No. 4. P. 488.
7. Maslov V.P. // Russ. J. Mathem. Phys. 2002. 9, No. 1. P. 112.
8. Маслов В.П. // ТМФ. 2002. 131, № 2.
9. Маслов В.П. // Матем. заметки. 2002. 71, № 4. С. 558.
10. Боголюбов Н.Н. Избранные труды: В 3 т. Т. 2, 3. Киев: Наукова думка, 1970, 1971.
11. Березин Ф.А. Метод вторичного квантования. М.: Наука, 1987.
12. Маслов В.П. Комплексный метод ВКБ в нелинейных уравнениях. М.: Наука, 1977.
13. Маслов В.П. Теория возмущений и асимптотические методы. М.: Наука, 1978.
14. Маслов В.П., Шведов О.Ю. Метод комплексного роста в многочастичных задачах и задачах квантовой теории поля. М.: УРСС, 2000.
15. Ландау Л.Д., Лифшиц Е.М. Статистическая физика. М.: Наука, 1976.
16. Лифшиц Е.М., Питаевский Л.П. Статистическая физика. М.: Наука, 1979.
17. Maslov V.P. // Russ. J. Mathem. Phys. 1995. 2, No. 4. P. 527.

Поступила в редакцию
13.03.02

УДК 514.752.4; 517.95

ДВУХСОЛИТОННЫЕ РЕШЕНИЯ УРАВНЕНИЯ \sin -ГОРДОНА И СВЯЗАННЫЕ С НИМИ ПСЕВДОСФЕРИЧЕСКИЕ ПОВЕРХНОСТИ

Е.В. Маевский

(кафедра математики)

Проведена классификация поверхностей постоянной отрицательной кривизны $K = -1$, соответствующих двухсолитонным решениям уравнения \sin -Гордона, по геометрическим характеристикам их особенностей.

Уравнение \sin -Гордона

$$z_{uv} = \sin z,$$

встречающееся в ряде задач математической физики [1–3], имеет наглядную геометрическую интерпретацию [4]. Это уравнение представляет собой уравнение Гаусса для чебышевской метрики

$$ds^2 = du^2 + 2 \cos z(u, v) dudv + dv^2$$

гауссовой кривизны $K \equiv -1$. В пространстве E^3 по заданному решению $z(u, v)$ можно построить псевдосферическую поверхность (ПП) — поверхность постоянной гауссовой кривизны $K \equiv -1$. На каждой ПП можно ввести асимптотическую сеть, одновременно являющуюся чебышевской. Если та-

ковой является сеть координатных линий (u, v) , то соответствие (решение z) \mapsto (псевдосферическая поверхность $\Phi[z]$) взаимно однозначно. Известно, что в E^3 не существует геодезически полной псевдосферической поверхности, любая $\Phi[z]$ имеет особенности — ребра возврата и острия, — они соответствуют линиям уровня функции $z(u, v) = \pi n$. По заданному в E^3 ребру $\Phi[z]$ можно однозначно построить фрагмент содержащей его поверхности, поэтому становится возможным классифицировать ПП по их особенностям.

Особую роль в физике играют решения уравнения \sin -Гордона в виде уединенных волн (односолитонные)

$$z = 4 \arctg e^{pu+v/p}$$

и в виде связанного состояния n уединенных волн (n -солитонные). Односолитонное решение характеризуется параметром p — вещественным или комплексным — амплитудой (параметром) солитона. Присоединение одного солитона с параметром p , т. е. переход от n -солитонного решения $z^{(n)}(u, v)$ к $(n + 1)$ -солитонному $z^{(n+1)} = B_p z^{(n)}$, осуществляется преобразованием Бэклунда B_p , которое определяется следующей системой уравнений:

$$\begin{cases} z_u^{(n+1)} = z_u^{(n)} + 2p \sin \frac{z^{(n+1)} + z^{(n)}}{2}, \\ z_v^{(n+1)} = -z_v^{(n)} + \frac{2}{p} \sin \frac{z^{(n+1)} - z^{(n)}}{2}. \end{cases}$$

Чтобы выделить единственное решение этой системы, дополним ее начальным условием $z^{(n+1)}(0, 0) + z^{(n)}(0, 0) = \pi$. Отметим, что односолитонное решение получается путем применения преобразования Бэклунда к тривиальному решению уравнения \sin -Гордона $z = 0$. Известно, что преобразования Бэклунда с различными параметрами перестановочны и

$$B_p B_q z = z + 4 \arctg \left(\frac{p+q}{p-q} \operatorname{tg} \frac{B_p z - B_q z}{4} \right).$$

Применяя эту формулу к тривиальному решению, получим двухсолитонное решение:

$$z(u, v) = 4 \arctg \left(\frac{p+q}{p-q} \frac{e^{pu+v/p} - e^{qu+v/q}}{1 + e^{pu+v/p} e^{qu+v/q}} \right),$$

где $p \neq \pm q$. В случае $p = q$ в этой формуле необходимо перейти к пределу. Если $p = -q$, то получаем $z = 0$, так что такие значения параметров интереса не представляют.

Выражение для радиус-вектора псевдосферической поверхности, соответствующей односолитонному решению — так называемой поверхности Дини, известно [5]. В прямоугольной декартовой системе координат $O\xi\eta\zeta$

$$\mathbf{r} = \frac{2p}{p^2 + 1} \frac{1}{\operatorname{ch}(pu + v/p)} \mathbf{e} + \left(-\frac{2p}{p^2 + 1} \operatorname{th}(pu + v/p) + u + v \right) \mathbf{n},$$

где $\mathbf{e} = (\cos \phi, \sin \phi, 0)$, $\mathbf{n} = (0, 0, 1)$, $\phi = u - v$. На поверхности Дини имеется только одно ребро (соответствующее значению $z = \pi$, которое достигается при $pu + v/p = 0$), являющееся винтовой линией при $|p| \neq 1$ и окружностью при $|p| = 1$.

Геометрическое преобразование Бэклунда [6] позволяет перейти от поверхности $\Phi[z]$, заданной в E^3 радиус-вектором $\mathbf{r}(u, v)$, к поверхности $\Phi[B_p z]$, определяемой радиус-вектором

$$\mathbf{R} = \mathbf{r} + \frac{2p}{p^2 + 1} \frac{1}{\sin z} \left(\mathbf{r}_u \sin \frac{z + B_p z}{2} + \mathbf{r}_v \sin \frac{z - B_p z}{2} \right).$$

Такое преобразование позволяет построить радиус-вектор поверхности, соответствующей двухсолитонному решению [7]. На этой поверхности имеются три особенности: $z = 0$ — ребро или острие и ребра $z = \pm\pi$. Целью настоящей работы является классификация этих особенностей (а вместе с ними и соответствующих поверхностей).

На плоскости (u, v) упомянутые выше линии уровня $z = 0$ и $z = \pm\pi$ определяются в координатах $x = pu + v/p$ и $y = qu + v/q$ (при $p \neq q$) и $Y = pu - v/p$ (при $p = q$) уравнениями

$$\text{ребро } z = 0 \text{ при } p \neq q: \quad y = x,$$

$$\text{ребра } z = \pm\pi \text{ при } p \neq q:$$

$$y = \ln \left[\pm \frac{p+q}{p-q} \left(1 \mp 2 \frac{p^2 + q^2}{p^2 - q^2} \left(e^x \pm \frac{p+q}{p-q} \right)^{-1} \right) \right], \quad (1)$$

$$\text{ребро } z = 0 \text{ при } p = q: \quad Y = 0,$$

$$\text{ребра } z = \pm\pi \text{ при } p = q: \quad Y = \pm \operatorname{ch} x.$$

Радиус-вектор ребра в системе $O\xi\eta\zeta$, его геодезическая кривизна (k) и кручение (\varkappa) могут быть представлены как функции переменной x . Отметим, что поскольку нормальная кривизна ребра возврата равна нулю, то его кривизна как кривой в пространстве совпадает по модулю с его геодезической кривизной.

Для ребра $z = 0$:

$$\mathbf{R} = (pq + 1) \left[\frac{2(p+q)}{(p^2 + 1)(q^2 + 1)} \frac{1}{\operatorname{ch} x} \mathbf{e} + \left(-\frac{2(p+q)}{(p^2 + 1)(q^2 + 1)} \operatorname{th} x + \frac{1}{p+q} x \right) \mathbf{n} \right],$$

$$k = \frac{2(p+q)}{1 + pq} \frac{1}{\operatorname{ch} x}, \quad \varkappa = \frac{pq - 1}{pq + 1}.$$

Для ребер $z = \pm\pi$:

$$\begin{aligned} \mathbf{R} = & \frac{2p}{p^2 + 1} \left(\frac{1}{\operatorname{ch} x} \mp \frac{q(p^2 - 1)}{p(q^2 + 1)} \operatorname{th} x \right) \mathbf{e} \pm \\ & \pm \frac{4pq}{(p^2 + 1)(q^2 + 1)} \mathbf{e}' + \\ & + \left[\frac{2p}{p^2 + 1} \left(-\operatorname{th} x \mp \frac{q(p^2 - 1)}{p(q^2 + 1)} \frac{1}{\operatorname{ch} x} \right) + \right. \\ & \left. + \frac{p(1 - q^2)}{p^2 - q^2} x + \frac{q(p^2 - 1)}{p^2 - q^2} y \right] \mathbf{n}, \end{aligned}$$

$$k = \mp \frac{2q}{q^2 + 1} \left(\operatorname{sh} x \mp \frac{p}{q} \right) \left(\operatorname{sh} x \pm \frac{q}{p} \right) \times \left[\left(\operatorname{sh} x \mp \frac{q(p^2 - 1)}{p(q^2 + 1)} \right) \operatorname{ch} x \right]^{-1},$$

$$\varkappa = \frac{q^2 - 1}{q^2 + 1} \left(\operatorname{sh} x \mp \frac{q(p^2 + 1)}{p(q^2 - 1)} \right) \left[\left(\operatorname{sh} x \mp \frac{q(p^2 - 1)}{p(q^2 + 1)} \right) \right]^{-1},$$

где $\mathbf{e}' = (-\sin \phi, \cos \phi, 0)$, $\phi = u - v = \frac{p(q^2 + 1)}{p^2 - q^2} x - \frac{q(p^2 + 1)}{p^2 - q^2} y$, а y определяется через x уравнением (1).

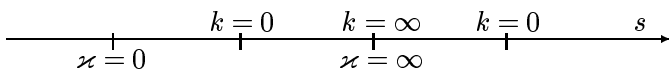
Соответствующие выражения для радиус-вектора, кривизны и кручения при $p = q$ получаются из представленных предельным переходом.

Проанализируем приведенные выражения. Координатная ось ζ является своеобразной осью поверхности (не осью симметрии!), на которую «навиваются» ребра. Ребро $z = 0$ асимптотически при $s \rightarrow \pm\infty$ (где s — естественный параметр ребра) вырождается в ось ζ . Ребра $z = \pm\pi$ совмещаются друг с другом путем зеркального отражения относительно координатной плоскости $O\xi\eta$ и поворота вокруг оси ζ ; поэтому достаточно рассмотреть одно из них, например $z = \pi$. Оно вырождается при $s \rightarrow \pm\infty$ в винтовые линии, служащие ребрами поверхностей Дини с параметрами p (например, при $s \rightarrow +\infty$) и q (при $s \rightarrow -\infty$). Геодезическая кривизна и кручение ребра $z = \pi$ могут менять знак, поэтому кривую, которую они определяют в пространстве, будем классифицировать по взаимному расположению на ней точек смены знака кривизны и кручения.

Ниже приведена классификация двухсолитонных поверхностей, содержащая восемь характерных случаев. Предварительно отметим некоторые характерные геометрические особенности ребра $z = \pi$. Во-первых, ребро может содержать точку $\varkappa = 0$, в которой оно меняет знак винтового движения вокруг оси ζ (т.е. правое винтовое движение меняется на левое или наоборот). В приведенной классификации это типы 1, 4. Во-вторых, ребро может содержать дугу с точкой возврата $k = \varkappa = \infty$ (такова, например, точка $t = 0$ на кривой $\mathbf{r} = (t^2, t^3, t^4)$) и двумя расположенными по разные стороны от нее точками $k = 0$ (типы 1, 3). Ниже ребро $z = \pi$ условно изображено в виде оси s , на которой отмечены точки смены знака кривизны (сверху) и кручения (снизу). По геометрическому характеру ребра $z = 0$ типы 3, 4 подразделены на подтипы а, б. Случай a_2 соответствует поверхностям с $|p| = 1$ (или $|q| = 1$), у которых ребро $z = \pi$ асимптотически при $s \rightarrow -\infty$ (или при $s \rightarrow +\infty$) стремится к окружности, лежащей в плоскости, параллельной координатной плоскости $O\xi\eta$.

Тип 1:

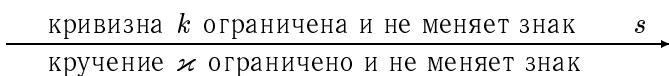
$$(|p| - 1)(|q| - 1) > 0, pq > 0.$$



Ребро $z = 0$ — кривая с постоянным $\varkappa \neq 0$ и ограниченной $k > 0$. На рис. 1 изображена такая поверхность при $p = 2, q = 9$.

Тип 2:

$$(|p| - 1)(|q| - 1) \geq 0, pq < 0.$$



Ребро $z = 0$ — кривая с постоянным кручением $\varkappa \neq 0$ и ограниченной кривизной $k > 0$.

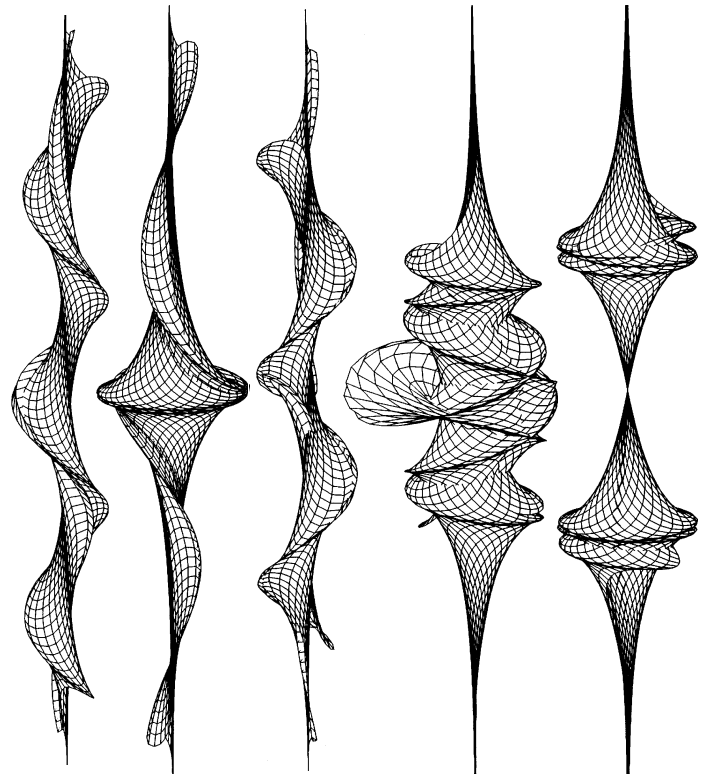


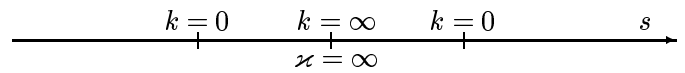
Рис. 1 Рис. 2 Рис. 3 Рис. 4 Рис. 5

С л у ч а й $a_1: |p| \neq 1, |q| \neq 1$.

С л у ч а й $a_2: |p| = 1$ или $|q| = 1$. Такая поверхность при $p = -1, q = 5$ изображена на рис. 2.

Тип 3:

$$(|p| - 1)(|q| - 1) \leq 0, pq > 0:$$



Подтип а: $pq \neq 1$. Ребро $z = 0$ — кривая с постоянным $\varkappa \neq 0$ и ограниченной $k > 0$.

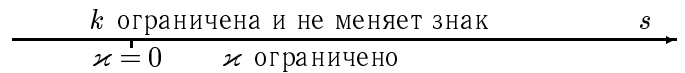
С л у ч а й $a_1: |p| \neq 1, |q| \neq 1$. На рис. 3 представлена такая поверхность при $p = 1/2, q = 9$.

С л у ч а й $a_2: |p| = 1$ или $|q| = 1$.

Подтип б: $pq = 1$. Ребро $z = 0$ — плоская кривая с самопересечением, напоминающая декартов лист. Эта поверхность при $p = q = 1$ изображена на рис. 4.

Тип 4:

$$(|p| - 1)(|q| - 1) < 0, pq < 0:$$



Подтип а: $pq \neq -1$. Ребро $z = 0$ — кривая с постоянным $\varkappa \neq 0$ и ограниченной $k > 0$.

Подтип б: $pq = -1$. Ребро $z = 0$ — точка (острие). На рис. 5 представлена такая поверхность при $p = 9/10, q = -10/9$.

Таким образом, все псевдосферические поверхности, соответствующие двухсолитонным решениям, могут быть подразделены на восемь типов: 1 (рис. 1), $2a_1, 2a_2$ (рис. 2), $3a_1$ (рис. 3), $3a_2, 3b$ (рис. 4), $4a, 4b$ (рис. 5).

Автор благодарен Д.В. Тихомирову за любезно предоставленные иллюстрации и профессору А.Г. Попову за полезное обсуждение работы.

Литература

1. Давыдов А.С. Солитоны в молекулярных системах. Киев: Наукова думка, 1984.
2. Хуберт А. Теория доменных стенок в упорядоченных средах. М.: Мир, 1977.
3. Skyrme T.H.R. // Proc. Roy. Soc. 1981. **A262**. P. 237.
4. Позняк Э.Г., Попов А.Г. // Итоги науки и техники. Сер. Проблемы геометрии. 1991. Т. 23. С. 99.

5. Попов А.Г. Точное решение основных уравнений теории поверхностей для односолитонного решения уравнения sin-Гордона: Деп. ВИНТИ № 4336-B86 от 12.06.86.
6. Bianchi L. Lezioni di geometria differenziale. Vol. 1, Parte 2. Bologna, 1927.
7. Тихомиров Д.В. // Вестн. Моск. ун-та. Физ. Астрон. 2001. № 1. С. 19 (Moscow University Phys. Bull. 2001. No. 1. P. 20).

Поступила в редакцию
21.11.01

УДК 517.958; 621.372.8

ПОВЕДЕНИЕ ВЛОЖЕННЫХ СОБСТВЕННЫХ ЗНАЧЕНИЙ УРАВНЕНИЯ ГЕЛЬМГОЛЬЦА ПРИ МАЛЫХ ВОЗМУЩЕНИЯХ

М.Д. Малых

(кафедра математики)

E-mail: malykham@mtu-net.ru

Приведен пример задачи, близкой к спектральной задаче теории волноводов со вставкой, вложенные собственные значения которой исчезают при малом изменении коэффициентов, характеризующих заполнение. Рассмотрение этой задачи основано на методе Фубини.

В настоящее время известны многочисленные примеры волноведущих систем, обладающих собственными значениями, вложенными в непрерывный спектр [1–6]. Однако не вполне ясно, сохранятся ли они при малом изменении границы или заполнения волновода, поскольку в общем случае вложенное собственное значение при малых возмущениях может превращаться в комплексный резонанс [4, 7, 8].

В настоящей работе рассмотрен простой пример спектральной задачи, у которой исчезают вложенные собственные значения, а именно:

$$\begin{cases} u'' + (k^2 q(x) - \alpha)u = k^2 p(x)v, \\ v'' + (k^2 q(x) - \beta)v = k^2 p(x)u. \end{cases} \quad (1)$$

Здесь $\alpha < \beta$, а функции $q(x) - 1$ и $p(x)$ — аналитические функции, регулярные в любой конечной точке вещественной оси и убывающие быстрее любой экспоненты.

Эта задача является модельным приближением для изучения спектральной задачи

$$\begin{cases} \Delta u + k^2 q(x, y)u = 0, \\ u|_{y=0} = 0, \quad u|_{y=\pi} = 0, \\ u \in L_2(\Omega) \end{cases} \quad (2)$$

в полом волноводе постоянного сечения

$$\Omega = \{x \in \mathbb{R}^1, y \in [0, +\pi]\},$$

заполненном неоднородным веществом, которое характеризуется кусочно-постоянной функцией $q(x, y)$.

В силу полноты системы тригонометрических функций решение (2) всегда можно представить в виде

$$u(x, y; k) = \sum_{n=1}^{\infty} u_n(x; k) \sin(ny),$$

причем $u_n(x) \in L^2(\mathbb{R}^1) \cap C^1$. Подставляя это выражение в (2), получим вместо (2) бесконечную систему обыкновенных дифференциальных уравнений

$$\begin{cases} u_n'' - n^2 u_n + k^2 \sum_{m=1}^{\infty} q_{n,m} u_m = 0, \quad n = 1, 2, \dots, \\ \sum_{n=1}^{\infty} \int_{\mathbb{R}^1} dx |u_n(x)|^2 < \infty, \end{cases} \quad (3)$$

где

$$q_{n,m}(x) = \int_S dy q(x, y) \sin(ny) \sin(my).$$

Нетрудно видеть, что задача (1) является весьма частным случаем задачи (3), однако можно надеяться, что и она передает характерные особенности поведения спектра задачи (2).

Предположим, что у задачи (1) существует вложенное собственное значение $k^2 \in (\alpha, \beta)$ и ему отвечает собственная функция $(u_1(x), v_1(x)) \in L^2(\mathbb{R}^1)$. Система (1) имеет еще три линейно-независимых